

## 統計物理学 No.2

82311971 佐々木良輔

[1]

(a)

2 スピン系の XXZ 相互作用ハミルトニアンは

$$\begin{aligned} H &= J(S_1^x S_2^x + S_1^y S_2^y + \Delta S_1^z S_2^z) - h(S_1^z + S_2^z) \\ &= \frac{J}{2}(S_1^+ S_2^- + S_2^+ S_1^-) + J\Delta S_1^z S_2^z - h(S_1^z + S_2^z) \end{aligned} \quad (1)$$

である. このとき

$$\begin{aligned} H|\uparrow\uparrow\rangle &= \frac{J}{2}(0 \otimes S_2^-|\uparrow\rangle + 0 \otimes S_1^-|\uparrow\rangle) + J\Delta S_1^z|\uparrow\rangle \otimes S_2^z|\uparrow\rangle - h(S_1^z|\uparrow\rangle \otimes |\uparrow\rangle + |\uparrow\rangle \otimes S_2^z|\uparrow\rangle) \\ &= 0 + J\Delta \frac{1}{2}|\uparrow\rangle \otimes \frac{1}{2}|\uparrow\rangle - h\left(\frac{1}{2}|\uparrow\rangle \otimes |\uparrow\rangle + |\uparrow\rangle \otimes \frac{1}{2}|\uparrow\rangle\right) \\ &= \left(\frac{J\Delta}{4} - h\right)|\uparrow\uparrow\rangle \end{aligned} \quad (2)$$

$$\begin{aligned} H|\downarrow\downarrow\rangle &= \frac{J}{2}(S_1^+|\downarrow\rangle \otimes 0 + S_2^+|\downarrow\rangle \otimes 0) + J\Delta S_1^z|\downarrow\rangle \otimes S_2^z|\downarrow\rangle - h(S_1^z|\downarrow\rangle \otimes |\downarrow\rangle + |\downarrow\rangle \otimes S_2^z|\downarrow\rangle) \\ &= 0 + J\Delta\left(-\frac{1}{2}|\downarrow\rangle\right) \otimes \left(-\frac{1}{2}|\downarrow\rangle\right) - h\left(\left(-\frac{1}{2}|\downarrow\rangle\right) \otimes |\downarrow\rangle + |\downarrow\rangle \otimes \left(-\frac{1}{2}|\downarrow\rangle\right)\right) \\ &= \left(\frac{J\Delta}{4} + h\right)|\downarrow\downarrow\rangle \end{aligned} \quad (3)$$

$$\begin{aligned} H|\uparrow\downarrow\rangle &= \frac{J}{2}(0 \otimes 0 + S_2^+|\downarrow\rangle \otimes S_1^-|\uparrow\rangle) + J\Delta S_1^z|\uparrow\rangle \otimes S_2^z|\downarrow\rangle - h(S_1^z|\uparrow\rangle \otimes |\downarrow\rangle + |\uparrow\rangle \otimes S_2^z|\downarrow\rangle) \\ &= \frac{J}{2}|\downarrow\rangle \otimes |\uparrow\rangle + J\Delta \frac{1}{2}|\uparrow\rangle \otimes \left(-\frac{1}{2}|\downarrow\rangle\right) - h\left(\frac{1}{2}|\uparrow\rangle \otimes |\downarrow\rangle + |\uparrow\rangle \otimes \left(-\frac{1}{2}|\downarrow\rangle\right)\right) \\ &= \frac{J}{2}|\downarrow\uparrow\rangle - \frac{J\Delta}{4}|\uparrow\downarrow\rangle \end{aligned} \quad (4)$$

$$\begin{aligned}
H |\downarrow\uparrow\rangle &= \frac{J}{2} (S_1^+ |\downarrow\rangle \otimes S_2^- |\uparrow\rangle + 0 \otimes 0) + J\Delta S_1^z |\downarrow\rangle \otimes S_2^z |\uparrow\rangle - h (S_1^z |\downarrow\rangle \otimes |\uparrow\rangle + |\downarrow\rangle \otimes S_2^z |\uparrow\rangle) \\
&= \frac{J}{2} |\uparrow\rangle \otimes |\downarrow\rangle + J\Delta \left(-\frac{1}{2} |\downarrow\rangle\right) \otimes \frac{1}{2} |\uparrow\rangle - h \left(\left(-\frac{1}{2} |\downarrow\rangle\right) \otimes |\uparrow\rangle + |\downarrow\rangle \otimes \frac{1}{2} |\uparrow\rangle\right) \\
&= \frac{J}{2} |\uparrow\downarrow\rangle - \frac{J\Delta}{4} |\downarrow\uparrow\rangle
\end{aligned} \tag{5}$$

である. ここで

$$|t_{+1}\rangle = |\uparrow\uparrow\rangle, |t_{-1}\rangle = |\downarrow\downarrow\rangle, |t_0\rangle = \frac{1}{\sqrt{2}} (|\uparrow\downarrow\rangle + |\downarrow\uparrow\rangle), |s\rangle = \frac{1}{\sqrt{2}} (|\uparrow\downarrow\rangle - |\downarrow\uparrow\rangle) \tag{6}$$

は固有状態であり, それぞれの固有値は

$$H |t_{+1}\rangle = \left(\frac{J\Delta}{4} - h\right) |t_{+1}\rangle \tag{7}$$

$$H |t_{-1}\rangle = \left(\frac{J\Delta}{4} + h\right) |t_{-1}\rangle \tag{8}$$

$$\begin{aligned}
H |t_0\rangle &= \frac{1}{\sqrt{2}} \left(\frac{J}{2} (|\uparrow\downarrow\rangle - |\downarrow\uparrow\rangle) - \frac{J\Delta}{4} (|\uparrow\downarrow\rangle + |\downarrow\uparrow\rangle)\right) \\
&= \left(\frac{J}{2} - \frac{J\Delta}{4}\right) |t_0\rangle
\end{aligned} \tag{9}$$

$$\begin{aligned}
H |s\rangle &= \frac{1}{\sqrt{2}} \left(-\frac{J}{2} (|\uparrow\downarrow\rangle - |\downarrow\uparrow\rangle) - \frac{J\Delta}{4} (|\uparrow\downarrow\rangle + |\downarrow\uparrow\rangle)\right) \\
&= -\left(\frac{J}{2} + \frac{J\Delta}{4}\right) |s\rangle
\end{aligned} \tag{10}$$

となる.

(b)(i)

$|t_{\pm 1}\rangle$  のエネルギーは  $h = 0$  において  $J\Delta/4$  である.  $\Delta \geq 1$  のとき  $h \geq 0$  において  $E_{t_{+1}}$  は  $E_{t_0}$ ,  $E_s$  とそれぞれ一回ずつ交点をもち, その値は

$$\begin{aligned}
\frac{J\Delta}{4} - h &= \frac{J}{2} - \frac{J\Delta}{4} \\
\Longleftrightarrow h &= \frac{J}{2}(\Delta - 1)
\end{aligned} \tag{11}$$

$$\begin{aligned}
\frac{J\Delta}{4} - h &= -\frac{J}{2} - \frac{J\Delta}{4} \\
\Longleftrightarrow h &= \frac{J}{2}(\Delta + 1)
\end{aligned} \tag{12}$$

である. したがってエネルギースペクトルは図 1 のようになる. 図 1 から  $h \leq J/2(\Delta + 1)$  での基底状態は  $|s\rangle$ ,  $h > J/2(\Delta + 1)$  での基底状態は  $|t_{+1}\rangle$  である. それぞれの状態での磁化の期待値は

$$\begin{aligned}
 \langle s | S_1^z + S_2^z | s \rangle &= \langle s | (S_1^z + S_2^z) \frac{1}{\sqrt{2}} (|\uparrow\downarrow\rangle - |\downarrow\uparrow\rangle) \\
 &= \langle s | \frac{1}{\sqrt{2}} (S_1^z |\uparrow\downarrow\rangle - S_1^z |\downarrow\uparrow\rangle + S_2^z |\uparrow\downarrow\rangle - S_2^z |\downarrow\uparrow\rangle) \\
 &= \langle s | \frac{1}{\sqrt{2}} \left( \frac{1}{2} |\uparrow\downarrow\rangle + \frac{1}{2} |\downarrow\uparrow\rangle - \frac{1}{2} |\uparrow\downarrow\rangle - \frac{1}{2} |\downarrow\uparrow\rangle \right) \\
 &= 0
 \end{aligned} \tag{13}$$

$$\begin{aligned}
 \langle t_{+1} | S_1^z + S_2^z | t_{+1} \rangle &= \langle \uparrow\uparrow | (S_1^z + S_2^z) | \uparrow\uparrow \rangle \\
 &= \langle \uparrow\uparrow | \left( \frac{1}{2} + \frac{1}{2} \right) | \uparrow\uparrow \rangle = 1
 \end{aligned} \tag{14}$$

したがって磁化の期待値は図 2 のように振る舞う.

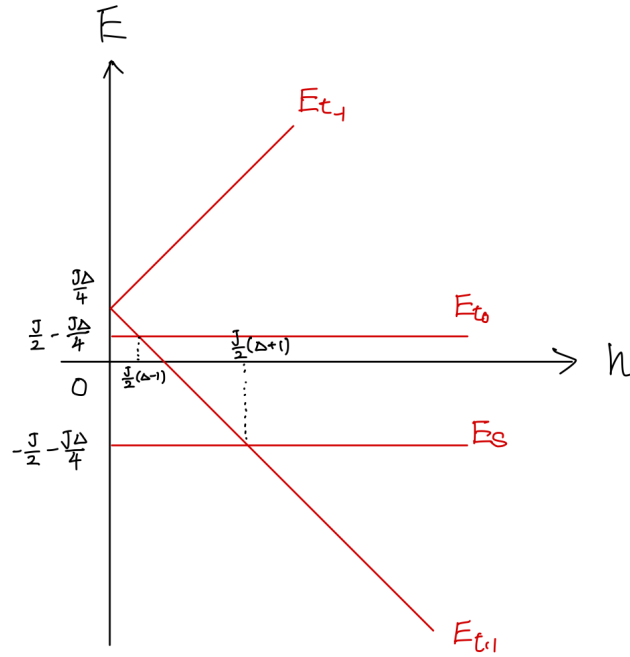


図 1  $\Delta \geq 1$  の場合のエネルギースペクトル

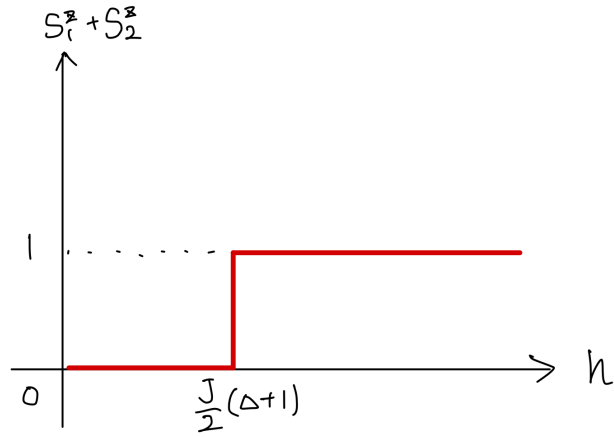


図2  $\Delta \geq 1$  の場合の磁化の期待値

(b)(ii)

$0 < \Delta < 1$  のとき  $E_{t-1}$  は  $E_{t_0}$  と,  $E_{t+1}$  は  $E_s$  と一回ずつ交点をもち, その値は

$$\begin{aligned} \frac{J\Delta}{4} + h &= \frac{J}{2} - \frac{J\Delta}{4} \\ \iff h &= \frac{J}{2}(1 - \Delta) \end{aligned} \quad (15)$$

$$\begin{aligned} \frac{J\Delta}{4} - h &= -\frac{J}{2} - \frac{J\Delta}{4} \\ \iff h &= \frac{J}{2}(1 + \Delta) \end{aligned} \quad (16)$$

である. したがってエネルギースペクトルは図3のようになる. 図3から  $h \leq J/2(\Delta + 1)$  での基底状態は  $|s\rangle$ ,  $h > J/2(\Delta + 1)$  での基底状態は  $|t_{+1}\rangle$  である. したがって基底状態での磁化の期待値は前問で計算したものと同様であり, 磁化の期待値は図2のように振る舞う.

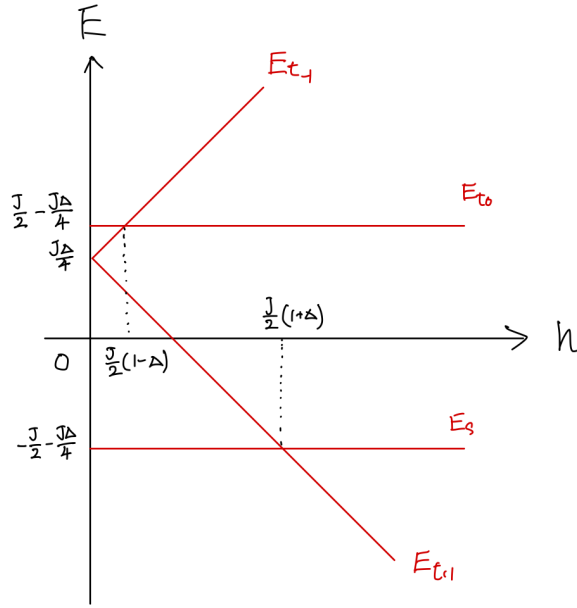


図3  $\Delta < 1$  の場合のエネルギースペクトル

(c)

エネルギーの低い2状態  $|s\rangle, |t_{+1}\rangle$  のみを考える.  $\Delta = 1$  のとき分配関数は

$$Z = \exp \beta \frac{3J}{4} + \exp \beta \left( h - \frac{J}{4} \right) \quad (17)$$

またそれぞれの状態での磁化は  $\langle s | S_1^z + S_2^z | s \rangle = 0$ ,  $\langle t_{+1} | S_1^z + S_2^z | t_{+1} \rangle = 1$  なので, アンサンブル平均は

$$\begin{aligned} \langle S_1^z + S_2^z \rangle &= \frac{0 \times \exp \beta \frac{3J}{4} + 1 \times \exp \beta \left( h - \frac{J}{4} \right)}{Z} \\ &= \frac{\exp \beta \left( h - \frac{J}{4} \right)}{\exp \beta \frac{3J}{4} + \exp \beta \left( h - \frac{J}{4} \right)} \\ &= \frac{1}{2} + \frac{1}{2} \frac{\exp \beta \left( h - \frac{J}{4} \right) - \exp \beta \frac{3J}{4}}{\exp \beta \left( h - \frac{J}{4} \right) + \exp \beta \frac{3J}{4}} \\ &= \frac{1}{2} \left( 1 + \frac{e^{\frac{\beta}{2}(h-j)} - e^{a\frac{\beta}{2}(h-j)}}{e^{\frac{\beta}{2}(h-j)} + e^{a\frac{\beta}{2}(h-j)}} \right) \\ &= \frac{1}{2} \left( 1 + \tanh \left( \frac{\beta}{2}(h-j) \right) \right) \end{aligned} \quad (18)$$

となる. これは図4 青線のような曲線になる.

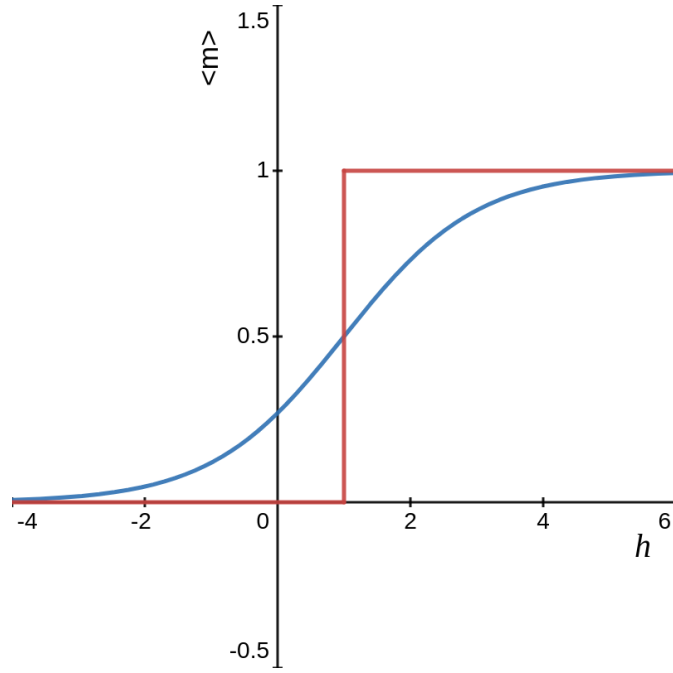


図 4 青線: 正準分布を用いて計算した磁化の期待値, 赤線: 図 2 で示した磁化の期待値, 共に  $J = 1, \beta = 1$  とした.

(d)

4 状態すべてを考慮したとき, 分配関数は

$$Z = \exp \beta \frac{3J}{4} + \exp \beta \left( h - \frac{J}{4} \right) + \exp \left( -\beta \frac{J}{4} \right) + \exp \left( -\beta \left( h + \frac{J}{4} \right) \right) \quad (19)$$

また  $|t_{-1}\rangle, |t_0\rangle$  での磁化の期待値は

$$\begin{aligned} \langle t_{-1} | S_1^z + S_2^z | t_{-1} \rangle &= \langle \downarrow\downarrow | S_1^z + S_2^z | \downarrow\downarrow \rangle \\ &= -1 \langle \downarrow\downarrow | \downarrow\downarrow \rangle = -1 \end{aligned} \quad (20)$$

$$\begin{aligned} \langle t_0 | S_1^z + S_2^z | t_0 \rangle &= \langle t_0 | (S_1^z + S_2^z) \frac{1}{\sqrt{2}} (|\uparrow\downarrow\rangle + |\downarrow\uparrow\rangle) \\ &= \langle t_0 | \frac{1}{\sqrt{2}} \left( \frac{1}{2} |\uparrow\downarrow\rangle - \frac{1}{2} |\downarrow\uparrow\rangle - \frac{1}{2} |\uparrow\downarrow\rangle + \frac{1}{2} |\downarrow\uparrow\rangle \right) \\ &= 0 \end{aligned} \quad (21)$$

である. したがってアンサンブル平均は

$$\begin{aligned}
\langle S_1^z + S_2^z \rangle &= \frac{1 \times e^{\beta(h-J/4)} + (-1) \times e^{-\beta(h+J/4)}}{Z} \\
&= \frac{e^{\beta(h-J/4)} - e^{-\beta(h+J/4)}}{e^{\beta(h-J/4)} + e^{-\beta(h+J/4)} + e^{3\beta J/4} + e^{-\beta J/4}} \\
&= \frac{e^{\beta h} - e^{-\beta h}}{e^{\beta h} + e^{-\beta h} + e^{\beta J} + 1} \\
&= \frac{2 \sinh \beta h}{2 \cosh \beta h + e^{\beta J} + 1}
\end{aligned} \tag{22}$$

である. したがって磁気感受率  $\chi_{\text{exp}}$  は

$$\begin{aligned}
\chi_{\text{exp}} &= (g\mu_B)^2 \frac{\partial}{\partial h} \langle S_1^z + S_2^z \rangle \Big|_{h \rightarrow 0} \\
&= (g\mu_B)^2 \frac{2\beta ((e^{\beta J} + 1) \cosh \beta h + 2(\cosh^2 \beta h - \sinh^2 \beta h))}{(2 \cosh \beta h + e^{\beta J} + 1)^2} \Big|_{h \rightarrow 0}
\end{aligned} \tag{23}$$

ここで  $\cosh^2 \beta h - \sinh^2 \beta h = 1$  なので

$$\begin{aligned}
\chi_{\text{exp}} &= (g\mu_B)^2 \frac{2\beta ((e^{\beta J} + 1) \cosh \beta h + 2)}{(2 \cosh \beta h + e^{\beta J} + 1)^2} \Big|_{h \rightarrow 0} \\
&= \frac{2\beta (e^{\beta J} + 3)}{(e^{\beta J} + 3)^2} \\
&= \frac{2\beta}{e^{\beta J} + 3}
\end{aligned} \tag{24}$$

ここで温度が十分高く  $\beta J \ll 1$  とできることから,  $e^{\beta J} \simeq 1 + \beta J$  と展開すると

$$\begin{aligned}
\chi_{\text{exp}} &= \frac{2\beta}{1 + \beta J + 3} \\
&= \frac{2}{\frac{4}{\beta} + J} \\
&= \frac{2}{4k_B T + J} \\
&= \frac{\frac{1}{2k_B}}{T + \frac{J}{4k_B}}
\end{aligned} \tag{25}$$

となり, これは Curie-Weiss 則に従っている.

[2]